



# Análisis de Series de Tiempo

Carrera de Especialización para Inteligencia Artificial

# Temas

---

- Modelos de suavizado exponencial
- Predicciones
- Análisis de intervenciones
- Análisis de outliers
- Segunda entrega TP

# Modelos de suavizado exponencial

# Suavizado exponencial

---

El método de suavizado exponencial se suele ajustar bien a series estacionales. Tiene la ventaja de que es simple, requiere menos datos que los modelos ARIMA para predecir y responde bien a cambios en tendencia y estacionalidad de corto plazo.

Los pronósticos obtenidos con este método son promedios ponderados de observaciones pasadas. Los **pesos decaen exponencialmente**, por lo tanto las últimas observaciones serán las de mayor peso.

Vamos a usar una notación de componentes para describir estos modelos.

# Suavizado exponencial simple

---

Si  $y_t$  es la serie de tiempo, la predicción a un paso es:

$$\hat{y}_{t+1|t} = \alpha y_t + \alpha(1 - \alpha)y_{t-1} + \alpha(1 - \alpha)^2 y_{t-2} + \dots$$

donde alpha es el parámetro de suavizado ( $0 < \alpha < 1$ ). Hace falta definir un valor para el momento inicial, es decir  $t=1$  al que llamamos  $n_0$ :

$$\hat{y}_{t+1|t} = \alpha y_t + \alpha(1 - \alpha)\hat{y}_{t|t-1}$$

$$\hat{y}_{t+1|t} = \sum_{j=0}^{t-1} \alpha(1 - \alpha)^j y_{t-j} + (1 - \alpha)^t n_0$$

# Suavizado exponencial simple

---

Si usamos la notación de componentes, este modelo simple se puede describir a partir de una componente de *Nivel*:

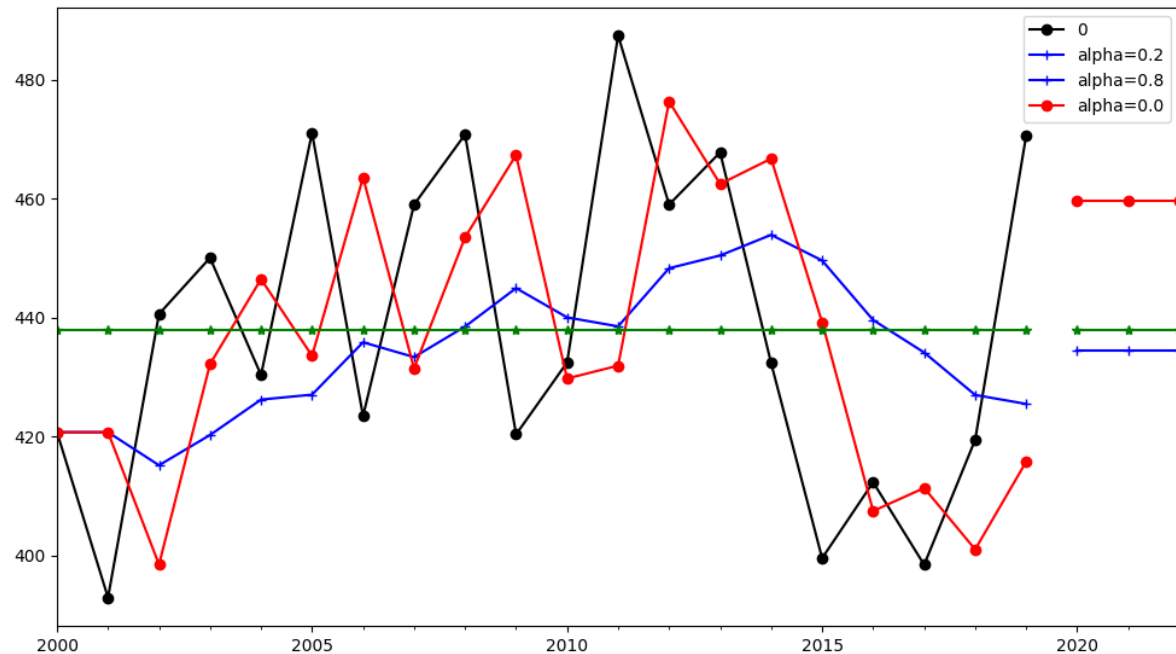
$$\text{Pronóstico} \quad \hat{y}_{t+h|t} = n_t$$

$$\text{Nivel} \quad n_t = \alpha y_t + (1 - \alpha)n_{t-1}$$

En python estos modelos están incluidos en statsmodels.

```
from statsmodels.tsa.api import SimpleExpSmoothing  
  
ins1 = SimpleExpSmoothing(data).fit(smoothing_level=0.2, optimized=False)
```

# Suavizado exponencial simple



# Suavizado exponencial lineal de Holt

---

Esta extensión permite trabajar con series que tengan tendencia lineal. Con  $b_t$  la pendiente de la tendencia y  $\beta$  el parámetro de suavizado para la tendencia hay una expresión para el pronóstico y dos ecuaciones de componentes:

$$\text{Pronóstico} \quad \hat{y}_{t+h|t} = n_t + hb_t$$

$$\text{Nivel} \quad n_t = \alpha y_t + (1 - \alpha)(n_{t-1} + b_{t-1})$$

$$\text{Tendencia} \quad b_t = \beta(n_t - n_{t-1}) + (1 - \beta)b_{t-1}$$

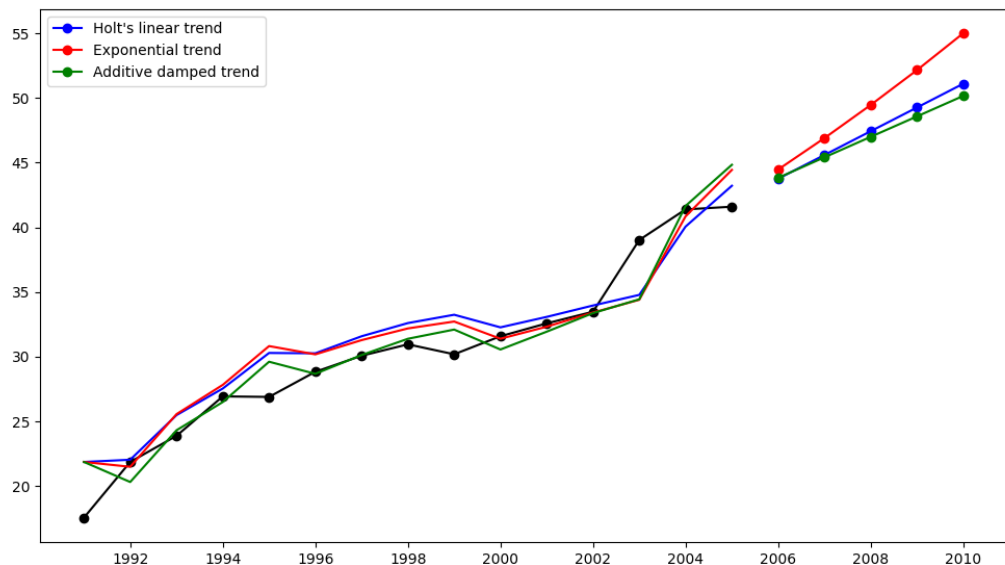
En este modelo la tendencia es constante indefinidamente. Para otros casos se define un factor de damping o amortiguación.



# Suavizado exponencial lineal de Holt

```
from statsmodels.tsa.api import ExponentialSmoothing, SimpleExpSmoothing, Holt
```

```
fit1 = Holt(air).fit(smoothing_level=0.8, smoothing_slope=0.2, optimized=False)
fcast1 = fit1.forecast(5).rename("Holt's linear trend")
fit2 = Holt(air, exponential=True).fit(smoothing_level=0.8, smoothing_slope=0.4,
optimized=False)
fcast2 = fit2.forecast(5).rename("Exponential trend")
```



# Suavizado exponencial de tendencia amortiguada

---

delta es el parámetro de amortiguación, definido entre (0,1).

$$\textit{Pronóstico} \quad \hat{y}_{t+h|t} = n_t + (\delta + \delta^2 + \dots + \delta^h)b_t$$

$$\textit{Nivel} \quad n_t = \alpha y_t + (1 - \alpha)(n_{t-1} + \delta b_{t-1})$$

$$\textit{Tendencia} \quad b_t = \beta(n_t - n_{t-1}) + (1 - \beta)\delta b_{t-1}$$

# Holt - Winters

---

Holt-Winters resulta una generalización de estos métodos para poder trabajar con series estacionales, agregando una ecuación de suavizado para la componente estacional  $e_t$ . Se presenta el método aditivo y el multiplicativo:

Método aditivo:

$$\text{Pronóstico} \quad \hat{y}_{t+h|t} = n_t + hb_t + e_{t+h-m(k+1)}$$

$$\text{Nivel} \quad n_t = \alpha(y_t - e_{t-m} + (1 - \alpha)(n_{t-1} + b_{t-1}))$$

$$\text{Tendencia} \quad b_t = \beta(n_t - n_{t-1}) + (1 - \beta)b_{t-1}$$

$$\text{Estacionalidad} \quad e_t = \gamma(y_t - n_{t-1} - b_{t-1}) + (1 - \gamma)e_{t-m}$$

# Holt - Winters

---

gamma es el parámetro de estacionalidad (0,1), m es el período estacional, por ejemplo 12 meses y  $k = \lfloor (h-1)/k \rfloor$  es un índice.

Método multiplicativo:

$$\text{Pronóstico} \quad \hat{y}_{t+h|t} = (n_t + hb_t)e_{t+h-m(k+1)}$$

$$\text{Nivel} \quad n_t = \alpha \frac{y_t}{e_{t-m}} + (1 - \alpha)(n_{t-1} + b_{t-1})$$

$$\text{Tendencia} \quad b_t = \beta(n_t - n_{t-1}) + (1 - \beta)b_{t-1}$$

$$\text{Estacionalidad} \quad e_t = \gamma \frac{y_t}{n_{t-1} + b_{t-1}} + (1 - \gamma)e_{t-m}$$

# Holt - Winters

---

Agregando el factor de damping a este modelo se tiene que:

$$\text{Pronóstico} \quad \hat{y}_{t+h|t} = [n_t + (\delta + \delta^2 + \dots + \delta^h)b_t]e_{t+h-m(k+1)}$$

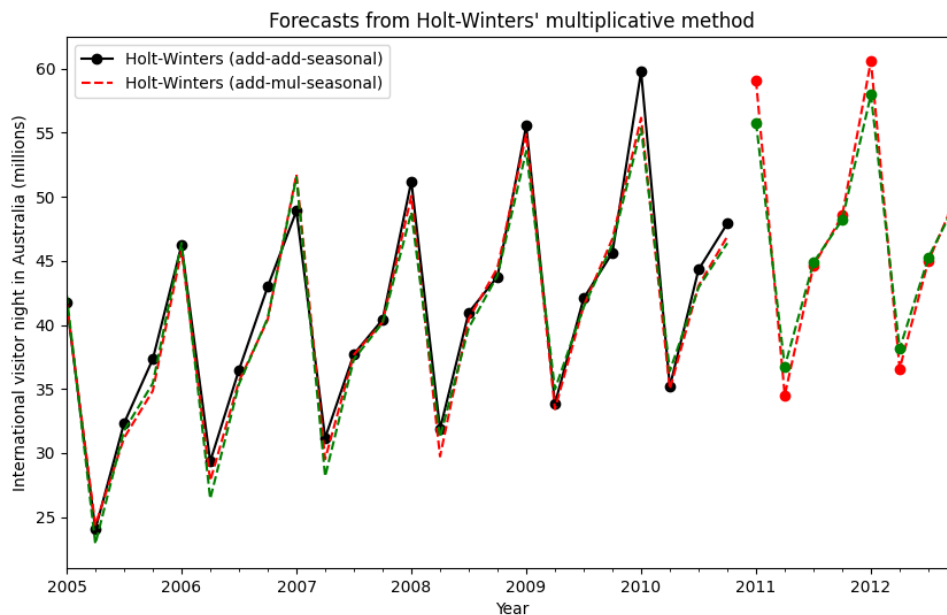
$$\text{Nivel} \quad n_t = \alpha \frac{y_t}{e_{t-m}} + (1 - \alpha)(n_{t-1} + \delta b_{t-1})$$

$$\text{Tendencia} \quad b_t = \beta(n_t - n_{t-1}) + (1 - \beta)\delta b_{t-1}$$

$$\text{Estacionalidad} \quad e_t = \gamma \frac{y_t}{n_{t-1} + \delta b_{t-1}} + (1 - \gamma)e_{t-m}$$

# Holt - Winters

```
fit1 = ExponentialSmoothing(  
    aust,  
    seasonal='mul',  
    seasonal_periods=12  
)  
.fit()  
fit2 = ExponentialSmoothing(  
    aust,  
    seasonal='add',  
    seasonal_periods=12  
)  
.fit()
```



Predicciones

# Predicciones

---

Uno de los principales motivos de entrenar un modelo es para poder hacer predicciones acerca de los valores que va a tomar la serie de tiempo.

Es sumamente importante también conocer la precisión de estas estimaciones.



Para la mayor parte de lo que veamos esta clase vamos a suponer que conocemos perfectamente el modelo verdadero. Si bien es una suposición que en la práctica no se cumple, el uso de parámetros estimados cuando se cuenta con una cantidad grande de muestras no modifica significativamente los resultados presentados.



# Objetivo

---

Dadas la historia disponible en un instante  $t$ ,  $Y_1, \dots, Y_t$  queremos predecir el valor de  $Y_{t+k}$  que va a ocurrir dentro de  $k$  instantes de tiempo.

De la materia Probabilidad y Estadística, sabemos que el mejor predictor de  $Y_{t+k}$  basado en las muestras  $Y_1, \dots, Y_t$  es la esperanza condicional

$$\hat{Y}_t(\ell) = \mathbb{E}[Y_{t+\ell} | Y_1, \dots, Y_t]$$

# Predicción con tendencias determinísticas

---

Consideremos el caso visto en la clase 3 donde  $Y_t$  podía modelarse como

$$Y_t = X_t + \mu_t$$

donde  $X_t$  es una serie de tiempo de media nula y  $\mu_t$  es la tendencia determinística.

Si además  $X_t$  tiene las propiedades de ruido blanco de varianza  $C_0^2$ , ocurre que  $X_t, X_l$  son independientes  $\forall t \neq l$  y

$$\hat{Y}_{t+l} = \mathbb{E}[Y_{t+l} | Y_1, \dots, Y_t] = \mathbb{E}[\mu_{t+l} + X_{t+l} | Y_1, \dots, Y_t] = \mu_{t+l}$$

El error de predicción en este caso resulta

$$e_t(l) = Y_{t+l} - \hat{Y}_t(l) = X_{t+l}$$

con

$$\mathbb{E}[e_t(l)] = 0 \text{ y } \text{var}(e_t(l)) = C_0$$

# Predicción de ARIMA - ejemplo AR(1)

---

Consideremos un AR(1) con media distinta de cero:

$$Y_t - \mu = a_1(Y_{t-1} - \mu) + e_t$$

Luego, la predicción a un paso resulta

$$\hat{Y}_t(1) - \mu = \mathbb{E}[Y_{t+1}|Y_1, \dots, Y_t] = \mathbb{E}[a_1(Y_t - \mu) + e_t|Y_1, \dots, Y_t] = a_1(Y_t - \mu)$$

Podemos generalizar la predicción a  $\ell$  pasos como

$$\hat{Y}_t(\ell) = \mu + a_1^\ell(Y_t - \mu)$$

Observar que si

$|a_1| < 1$  y  $\ell$  es  
grande  
 $\mathbb{E}[\hat{Y}_t(\ell)] \approx \mu$

# Predicción de ARIMA - ejemplo AR(1)

Siguiendo la misma lógica de antes,

$$\begin{aligned}\boxed{e_t(1)} &= Y_{t+1} - \hat{Y}_t(1) = Y_{t+1} - (a_1(Y_t - \mu) + \mu) \\ &= a_1(Y_t - \mu) + \mu + e_{t+1} - (a_1(Y_t - \mu) + \mu) = \boxed{e_{t+1}}\end{aligned}$$

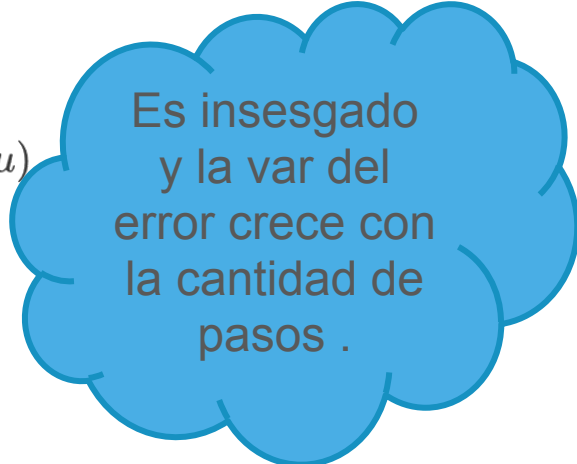
De donde obtenemos que

$$\mathbb{E}[e_t(1)] = 0 \text{ y } \text{var}(e_t(1)) = C_0$$

Para el caso general:

$$\begin{aligned}e_t(\ell) &= Y_{t+\ell} - \hat{Y}_t(\ell) = Y_{t+\ell} - (a_1^\ell(Y_t - \mu) + \mu) \\ &= e_{t+\ell} + a_1 e_{t+\ell-1} + \dots + a_1^{\ell-1} e_t \\ &= e_{t+\ell} + \psi_1 e_{t+\ell-1} + \dots + \psi_{\ell-1} e_{t+1}\end{aligned}$$

$$\begin{aligned}\mathbb{E}[e_t(\ell)] &= 0 \text{ y } \text{var}(e_t(\ell)) = (1 + \overset{?}{\psi_1} + \dots + \psi_{\ell-1})\sigma_e^2 \\ &= \sigma_e^2 \left( \frac{1 - a_1^{2\ell}}{1 - a_1^2} \right)\end{aligned}$$



Es insesgado  
y la var del  
error crece con  
la cantidad de  
pasos .

## Predicción de ARIMA - ejemplo MA(1)

---

Consideremos ahora un MA con media no nula:  $Y_t = \mu + e_t - b_1 e_{t-1}$

En este caso resulta que la predicción a un paso se puede aproximar como

$$\hat{Y}_t(1) = \mathbb{E}[\mu + e_{t+1} - b_1 e_t | Y_1, \dots, Y_t] = \mu - b_1 \mathbb{E}[e_t | Y_1, \dots, Y_t] \approx \mu - b_1 e_t$$

Nuevamente, podemos obtener una expresión más general

$$\hat{Y}_t(\ell) = \mathbb{E}[\mu + e_{t+\ell} - b_1 e_{t+\ell-1} | Y_1, \dots, Y_t] = \mu \quad \ell > 1$$

Para el caso de  $\ell = 1$ , tenemos que el error resulta

$$e_t(1) = e_{t+1}$$

# Predicción de ARIMA - ejemplo Random Walk

---

Consideremos el caso del caminante aleatorio con deriva (*drift*)

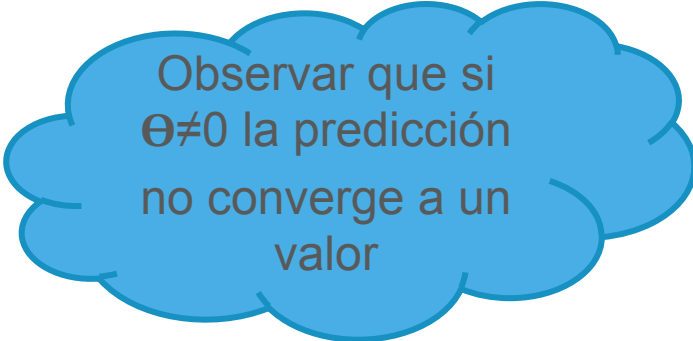
$$Y_t = Y_{t-1} + \theta - e_t$$

donde la predicción a un paso resulta

$$\hat{Y}_t(1) = \mathbb{E}[Y_t + \theta - e_{t+1} | Y_1, \dots, Y_t] = Y_t + \theta$$

Similar al caso AR(1) la predicción a  $\ell$  pasos se puede obtener a partir de una expresión recursiva como

$$\hat{Y}_t(\ell) = Y_t + \theta\ell, \quad \ell \geq 1$$



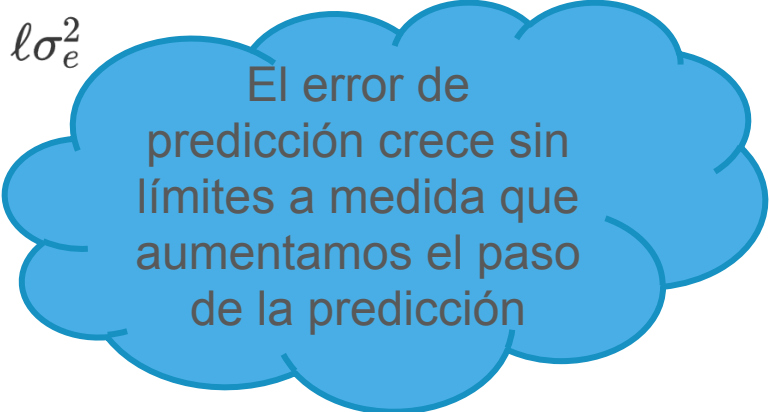
Observar que si  $\theta \neq 0$  la predicción no converge a un valor

El error para este ejemplo del caminante aleatorio resulta

$$\begin{aligned} e_t(\ell) &= Y_{t+1} - \hat{Y}_t(\ell) = (Y_t + e_{t+1} + \dots + e_{t+\ell} + \ell\theta) - (Y_t + \theta\ell) \\ &= e_{t+1} + \dots + e_{t+\ell} \end{aligned}$$

Se obtiene entonces que

$$\mathbb{E}[e_t(\ell)] = 0 \text{ y } \text{var}(e_t(\ell)) = \ell\sigma_e^2$$



El error de predicción crece sin límites a medida que aumentamos el paso de la predicción

# Predicción de ARIMA - ejemplo ARMA(p,q)

---

Consideremos ahora un modelo ARMA(p,q)

$$Y_t = a_1 Y_{t-1} + \dots + a_p Y_{t-p} + e_t - b_1 e_{t-1} + \dots + b_q e_{t-q}$$

En este caso, se puede ver que

$$\hat{Y}_t(\ell) = \mathbb{E}[Y_{t+\ell} | Y_1, \dots, Y_t] = a_1 \hat{Y}_t(\ell-1) + \dots + a_p \hat{Y}_t(p) + \theta_0 - b_1 \mathbb{E}[e_{t-1} | Y_1, \dots, Y_t] + \dots + b_q \mathbb{E}[e_{t-q} | Y_1, \dots, Y_t]$$

donde  $\theta_0 = \mu(1 - a_1 - \dots - a_p)$ .

Se observa que si  $\ell > q$  los términos asociados al MA desaparecen y el comportamiento queda regido por la componente AR del modelo. Con lo cual tenemos que

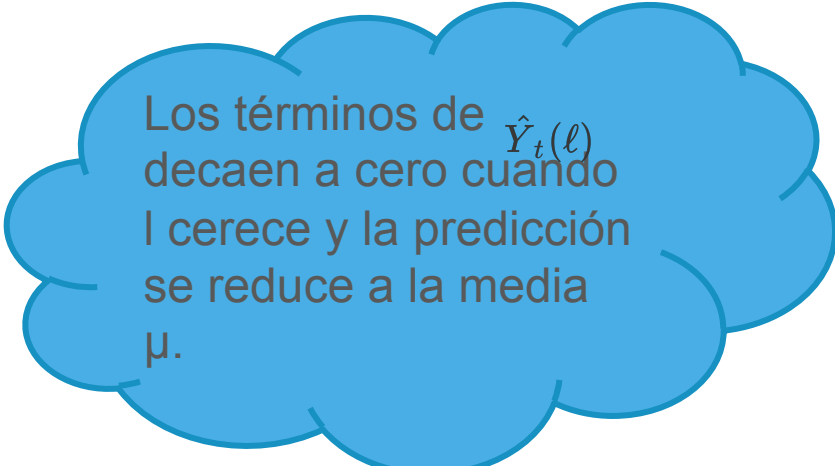
$$\hat{Y}_t(\ell) = a_1 (\hat{Y}_t(\ell-1) - \mu) + \dots + a_p (\hat{Y}_t(p) - \mu) + \mu \quad \ell > q$$



## Predicción de ARIMA - ejemplo ARMA(p,q)

---

Observar que la expresión hallada de  $\hat{Y}_t(\ell)$  sigue la misma recursión de Yule-Walker que la función de autocorrelación del proceso, y por lo tanto las raíces de la ec. característica determinarán el comportamiento para  $\ell$  grande. En particular, se puede escribir  $\hat{Y}_t(\ell)$  como sumas de términos que decaen exponencialmente con  $\ell$ , y senoidales amortiguadas.



Los términos de  $\hat{Y}_t(\ell)$  decaen a cero cuando  $\ell$  crece y la predicción se reduce a la media  $\mu$ .

# Modelo ARMA como proceso lineal truncado

---

Se puede demostrar (ver. apéndice G de Time Series Analysis) que todo modelo ARMA(p,q) se puede representar usando un proceso lineal truncado:

$$Y_{t+\ell} = C_t(\ell) + I_t(\ell), \quad \ell > 1$$

donde  $C_t(\ell)$  es una función de  $Y_t, Y_{t-1}, \dots$  y

$$I_t(\ell) = e_{t+\ell} + \psi_1 e_{t+\ell-1} + \dots + \psi_{\ell-1} e_{t+1}$$

Además, si  $\ell$  es lo suficientemente grande y el sistema es invertible  $C_t(\ell)$  depende sólo de  $Y_t, Y_{t-1}, \dots, Y_1$ , y

$$\hat{Y}_t(\ell) = C_t(\ell) \text{ y } e_t(\ell) = Y_{t+\ell} - \hat{Y}_t(\ell) = I_t(\ell)$$

$$\mathbb{E}[e_t(\ell)] = 0$$

$$\text{var}(e_t(\ell)) = (1 + \psi_1 + \dots + \psi_{\ell-1})\sigma_e^2$$

$$\text{var}(e_t(\ell)) \approx C_0 \text{ para } \ell \text{ grande}$$

# Predicción de ARIMA - ARIMA(p,d,q)

---

Se puede ver que un modelo ARIMA(p,d,q) se puede reescribir como un modelo ARMA(p+d,q) no estacionario:

$$Y_t = \varphi_1 Y_{t-1} + \varphi_2 Y_{t-2} + \dots + \varphi_{t-p-d} Y_{t-p-d} + e_t - b_1(e_t - 1) - \dots - b_q e_{t-q}$$

y las predicciones pueden calcularse igual que para el caso ARMA(p+d,q) y

$$e_t(\ell) = e_{t+\ell} + \psi_1 e_{t-1} + \dots + \psi_{\ell-1} e_{t+\ell-1}$$

Nuevamente es válido que

$$\mathbb{E}[e_t(\ell)] = 0 \text{ y } \text{var}(e_t(\ell)) = \sigma_e^2 \sum_{i=1}^{\ell-1} \psi_i^2$$

La diferencia es que al ser un proceso no estacionario los coeficientes no convergen a cero a medida que aumenta  $i$ , y la varianza aumenta sin cota a medida que  $\ell$  aumenta.

## Límites de la predicción

---

Como siempre, queremos saber la bondad de nuestra estimación. Hasta ahora analizamos la media y la varianza del error para cada instante predicho.

El objetivo es poder brindar un intervalo de confianza alrededor del valor predicho para cada valor de  $l$ .

Si las innovaciones ( $e_t$ ) siguen una distribución gaussiana, luego el error  $e_t(l)$  también va a seguir una distribución gaussiana, de media y varianza ya calculadas. Luego,

$$\mathbb{P} \left( z_{\alpha/2} \leq \frac{Y_{t+l} - \hat{Y}_t(l)}{\sqrt{\text{var}(e_t(l))}} \leq z_{1-\alpha/2} \right) = 1 - \alpha$$

resultando que

$$Y_{t+l} \in [\hat{Y}_t(l) - z_{1-\alpha/2} \sqrt{\text{var}(e_t(l))}, \hat{Y}_t(l) + z_{1-\alpha/2} \sqrt{\text{var}(e_t(l))}]$$

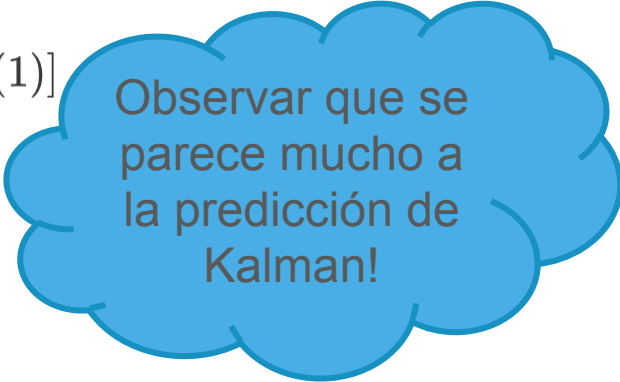
# Actualizando las predicciones ARIMA

---

¿Cómo actualizamos las predicciones realizadas una vez que nos llega una nueva muestra de la serie?

Supongamos que tengo la predicción  $\hat{Y}_t(\ell + 1)$ , que es la predicción del instante  $t+1$ , basados en las observaciones hasta tiempo  $t$ . Supongamos que de pronto me llega información acerca del instante  $t+1$ . Luego, quiero actualizar mi estimación de  $Y_{t+1}$ :  $\hat{Y}_{t+1}(\ell)$

$$\hat{Y}_{t+1}(\ell) = \hat{Y}_t(\ell + 1) + \psi_\ell [Y_{t+1} - \hat{Y}_t(1)]$$



Observar que se parece mucho a la predicción de Kalman!

# Predicción de series transformadas

---

Pongamos el ejemplo de la transformación logarítmica. En este caso tenemos  $Y_t$  la serie original y  $W_t = \log(Y_t)$ . Se puede demostrar que

$$\mathbb{E}[Y_{t+\ell} | Y_1, \dots, Y_t] \geq e^{\mathbb{E}[W_{t+\ell} | Y_1, \dots, Y_t]}$$

con lo cual el estimador naive  $\hat{Y}_t(\ell) = e^{\hat{W}_t(\ell)}$  no es el de ECM. Si  $W_t$  tiene distribución normal, vale que predictor de ECM es

$$\hat{Y}_t(\ell) = e^{\hat{W}_t(\ell) + 0.5 \text{var}(e_t(\ell))}$$

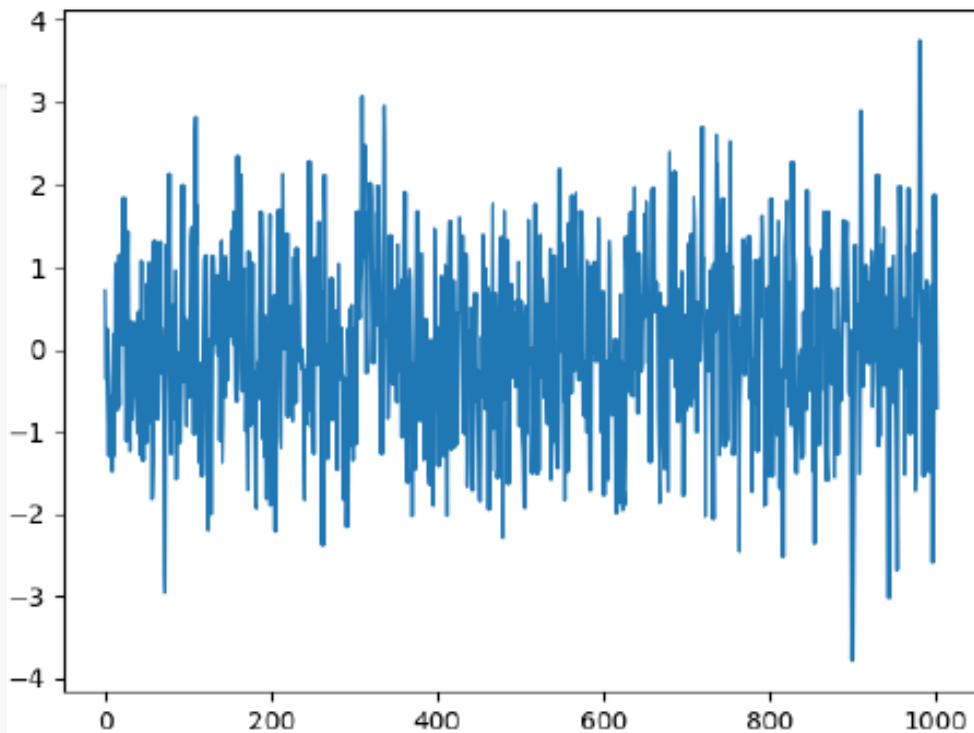
# Ejemplos

# Modelo de Promedio Móvil MA(1)

$$y_t = b_1 \epsilon_{t-1} + \epsilon_t$$

```
# MA(1)
N = 1000
b1 = 0.25
e_t0 = np.random.normal(0,1)
e_t1 = np.random.normal(0,1)
y = np.append(e_t0, b1*e_t0+e_t1) #

for i in range(N):
    e_t0 = e_t1
    e_t1 = np.random.normal(0,1)
    y = np.append(y, b1*e_t0+e_t1)
```





## Modelo de Promedio Móvil MA(1)

$$y_t = b_1 \epsilon_{t-1} + \epsilon_t$$

# Predict

```
ma1 = ARIMA(y, order=(0, 0, 1))
```

```
ma1_res = ma1.fit()
```

```
print(ma1_res.summary())
```

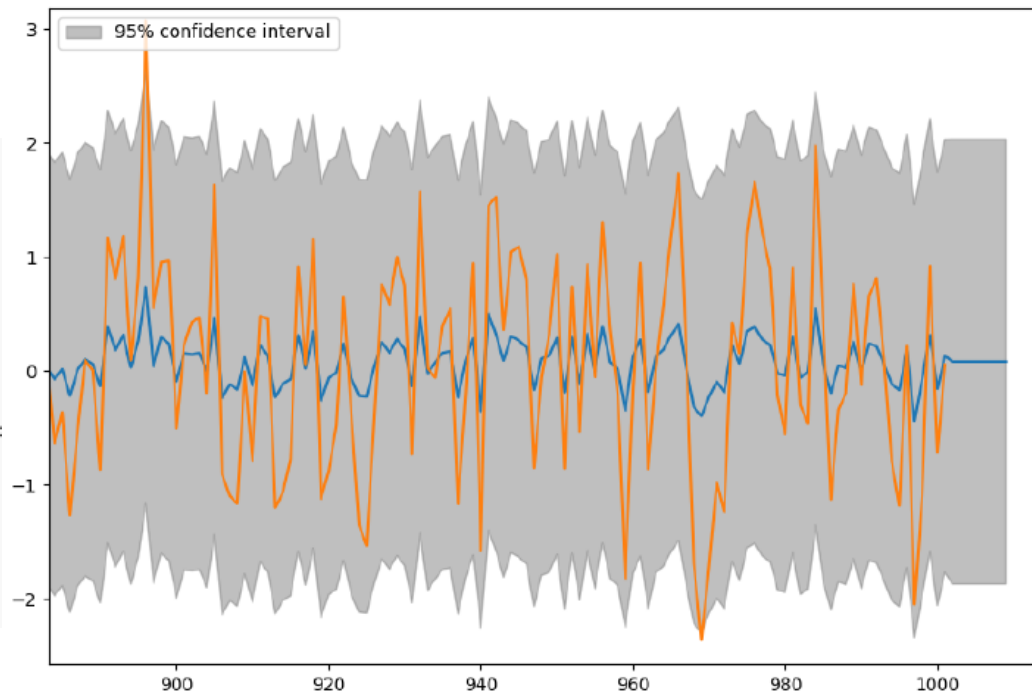
```
fig, ax = plt.subplots(figsize=(10, 8))
```

```
fig = plot_predict(ma1_res, start=1, end=
```

```
plt.plot(y)
```

```
legend = ax.legend(loc="upper left")
```

```
plt.show()
```



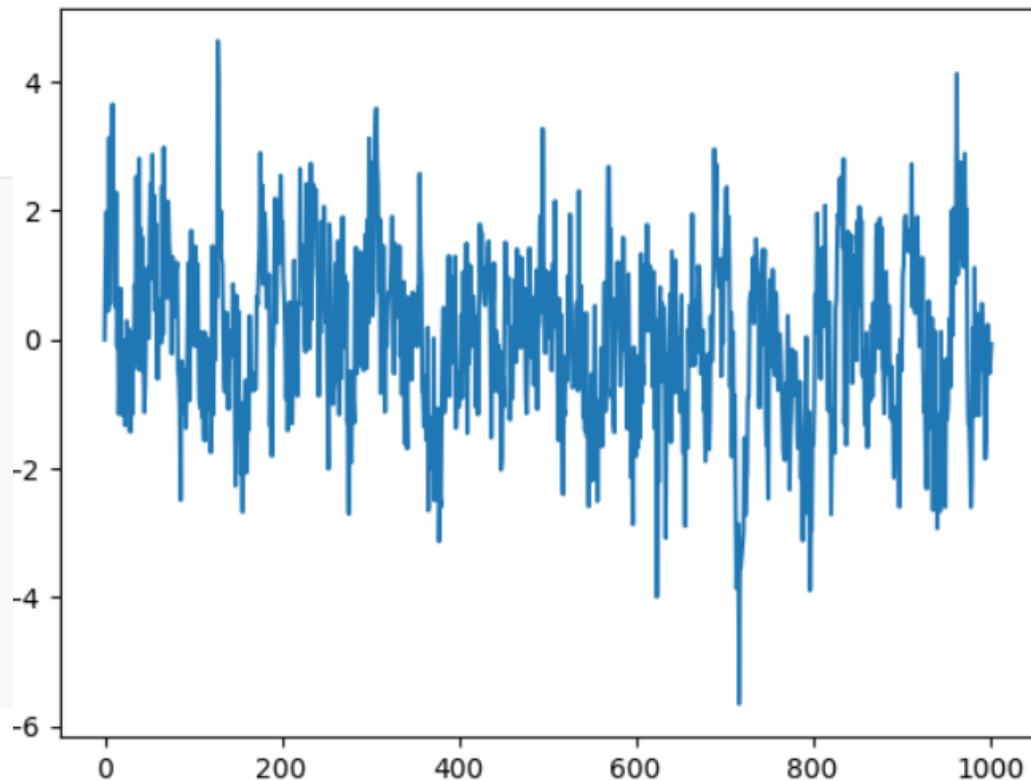
$$\gamma_0 = (1 + \theta_1^2 + \theta_2^2 + \dots + \theta_q^2) \sigma_e^2$$

# Modelo Autoregressivo AR(2)

$$y_t = a_1 y_{t-1} + a_2 y_{t-2} + \epsilon_t$$

```
# AR(2)
N=1000
a1=0.4
a2=0.35
x=np.arange(2)
e_t=np.random.normal(0,1)
y=np.append(x,a1*x[1]+a2*x[0]+e_t)

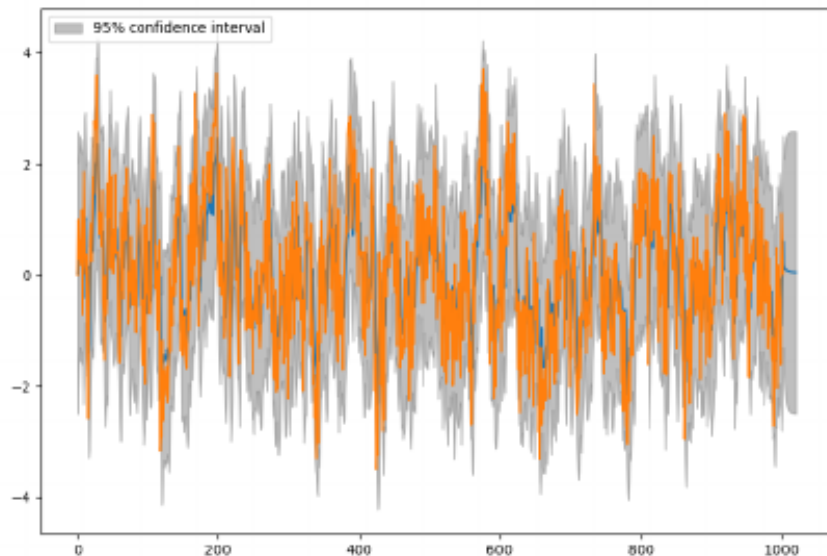
for i in range(N):
    e_t=np.random.normal(0,1)
    y=np.append(y,a1*y[-1]+a2*y[-2]+e_t)
```



# Modelo Autoregresivo AR(2)

```
# Predict
l=20
ar2 = ARIMA(y, order=(2, 0, 0))
ar2_res = ar2.fit()
print(ar2_res.summary())

fig, ax = plt.subplots(figsize=(10, 8))
fig = plot_predict(ar2_res, start=0, end=N+l, ax=ax)
plt.plot(y)
legend = ax.legend(loc="upper left")
plt.show()
```



→ ver resultados del modelo

# Modelo ARMA(2,1)

```
# Predict
```

```
y_arma = ARIMA(y, order=(2, 0, 1))
```

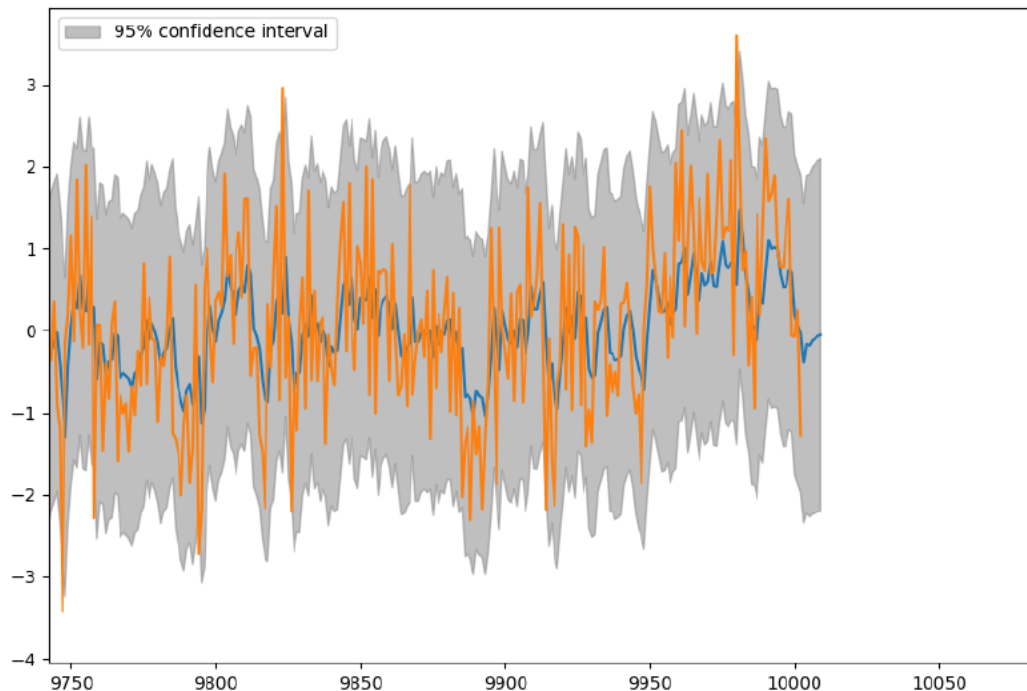
```
y_arma_res = y_arma.fit()
```

```
print(y_arma_res.summary())
```

```
fig, ax = plt.subplots(figsize=(10, 8))
```

```
fig = plot_predict(y_arma_res, start=1, end=N
```

```
plt.plot(y)
```



# Modelo ARIMA(2,1,1)

---

```
y=np.append(y,a1*y[-1]+a2*y[-2]+ b1*e_0 + e_t)
```

```
t = np.arange(int(N*0.01), step=0.01)  
y=y[2:N+2]
```

```
y = y+t
```

```
# Predict
```

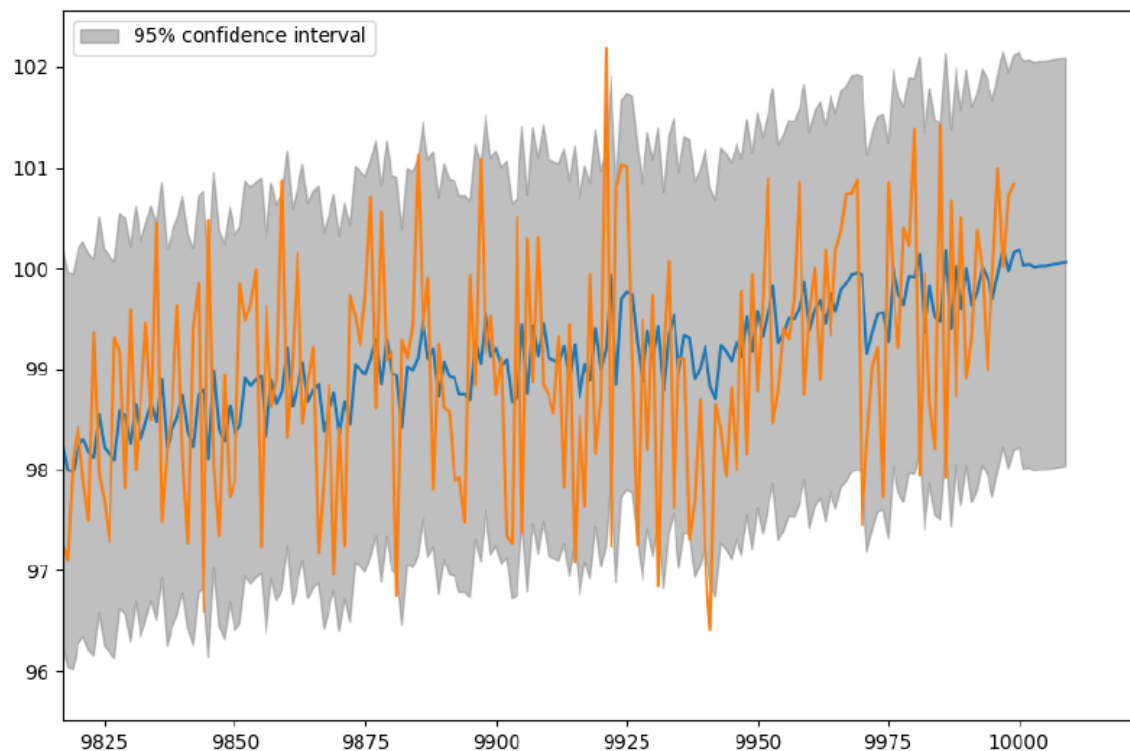
```
y_arma = ARIMA(y, order=(2, 1, 1), trend='t')  
y_arma_res = y_arma.fit()  
print(y_arma_res.summary())
```

```
fig, ax = plt.subplots(figsize=(10, 8))  
fig = plot_predict(y_arma_res, start=1,end=N+10, ax=ax)
```

# Modelo ARIMA(2,1,1)

```
1 SARIMAX Results
2 =====
3 Dep. Variable: y No. Observations: 10000
4 Model: ARIMA(2, 1, 1) Log Likelihood -14245.820
5 Date: jue, 18 nov 2021 AIC 28501.641
6 Time: 19:40:41 BIC 28537.692
7 Sample: 0 HQIC 28513.844
8 - 10000
9 Covariance Type: opg
10 =====
11 coef std err z P>|z| [0.025 0.975]
12 -----
13 x1 0.0100 9.94e-06 1006.340 0.000 0.010 0.010
14 ar.L1 0.0335 0.010 3.470 0.001 0.015 0.052
15 ar.L2 0.2474 0.010 25.610 0.000 0.228 0.266
16 ma.L1 -0.9996 0.001 -1875.605 0.000 -1.001 -0.999
17 sigma2 1.0100 0.014 70.300 0.000 0.982 1.038
18 =====
19 Ljung-Box (L1) (Q): 4.66 Jarque-Bera (JB): 0.24
20 Prob(Q): 0.03 Prob(JB): 0.89
21 Heteroskedasticity (H): 0.98 Skew: 0.00
22 Prob(H) (two-sided): 0.61 Kurtosis: 2.98
23 =====
```

## Modelo ARIMA(2,1,1)



#ARIMA

N=10000

a1=0.35

a2=0.25

b1 =-0.35

```
t = np.arange(int(N*0.01), step=0.01)
```

	coef
x1	0.0100
ar.L1	0.0335
ar.L2	0.2474
ma.L1	-0.9996
sigma2	1.0100

## Prediction of time series

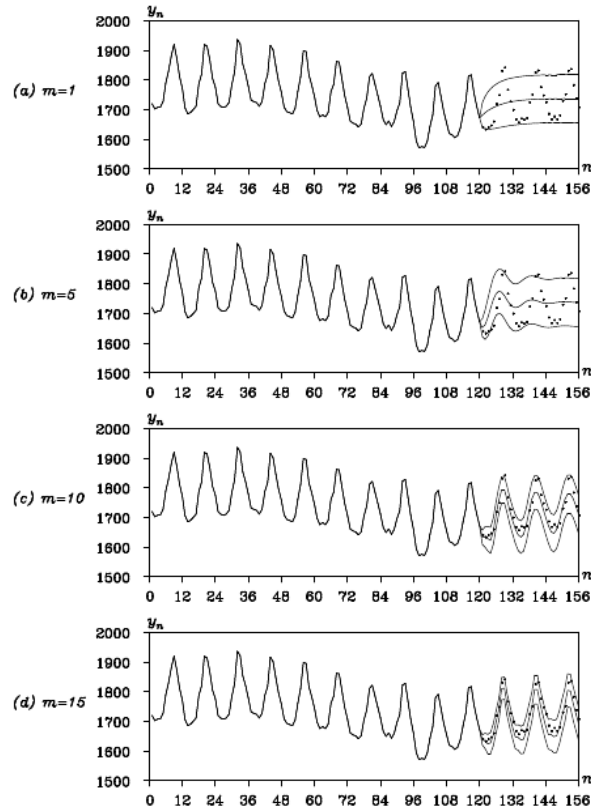


Figure 9.2 Increasing horizon predictive distributions (bold line: mean, thin line:  $\pm$  (standard deviation) and  $\circ$ : observed value). Orders of the AR models are 1, 5, 10 and 15, respectively.

## Interpolation of missing data

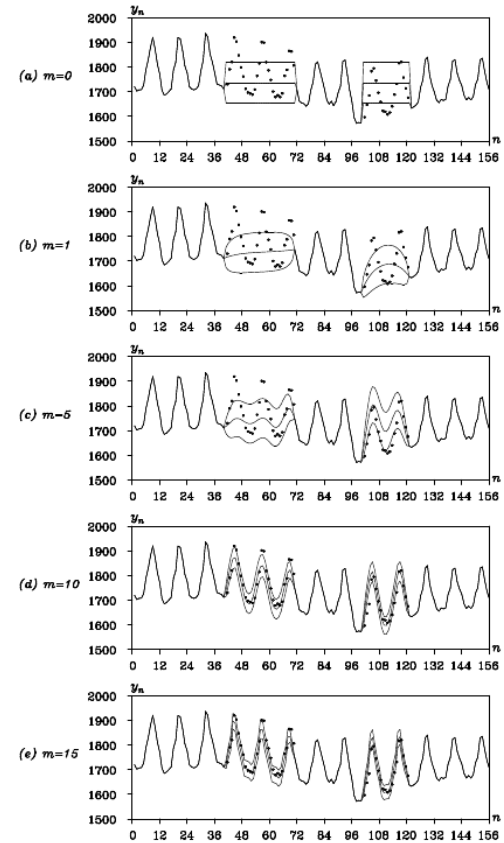


Figure 9.3 Interpolation of missing values (bold line: mean, thin line:  $\pm$  (standard deviation) and  $\circ$ : observed value). Orders of the AR models are 0, 1, 5, 10 and 15.

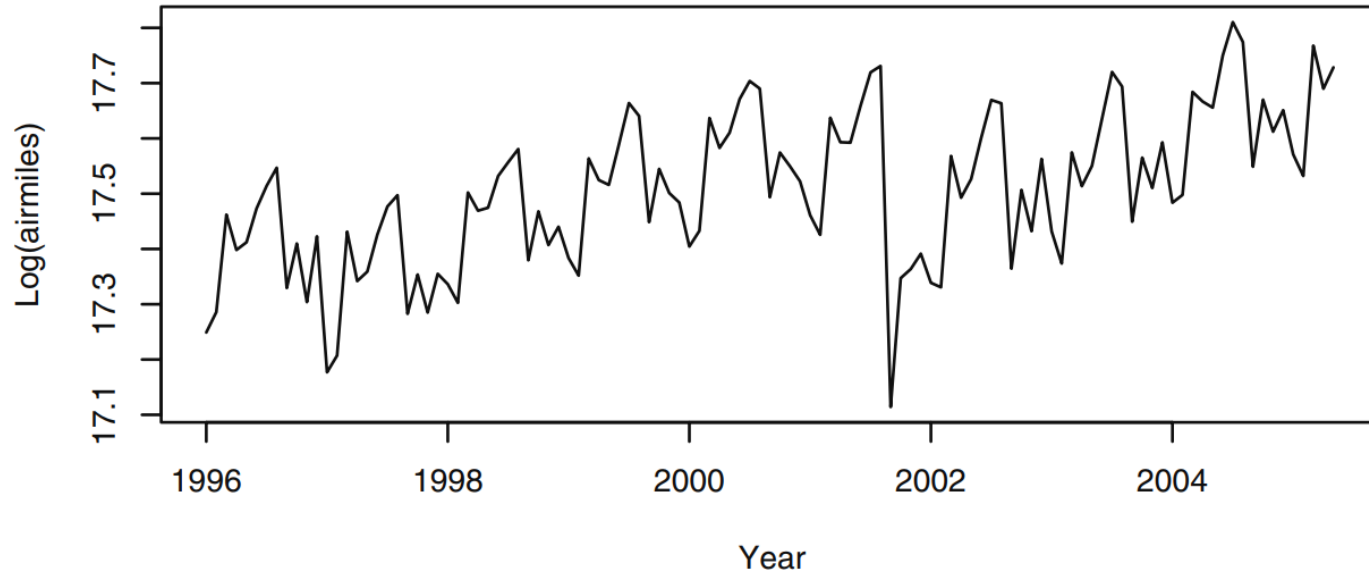


# Análisis de intervenciones

# Análisis de intervenciones

---

**Exhibit 11.1 Monthly U.S. Airline Miles: January 1996 through May 2005**



# Análisis de intervenciones

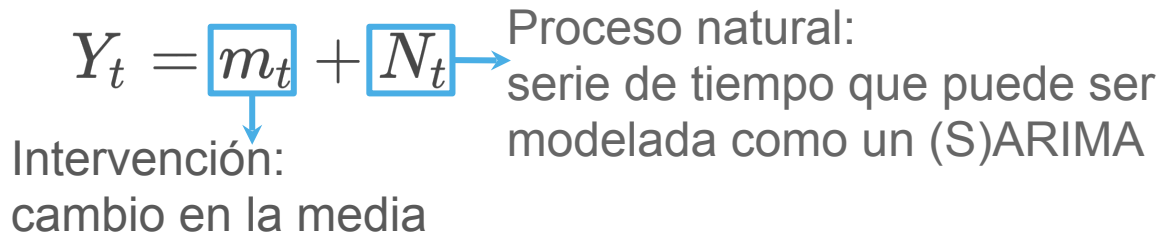
---

Consideremos el caso de una única intervención:

$$Y_t = m_t + N_t$$

Intervención:  
cambio en la media

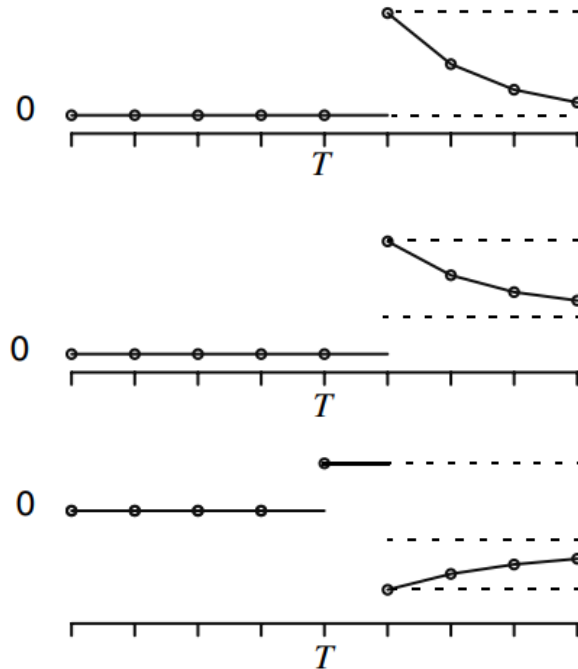
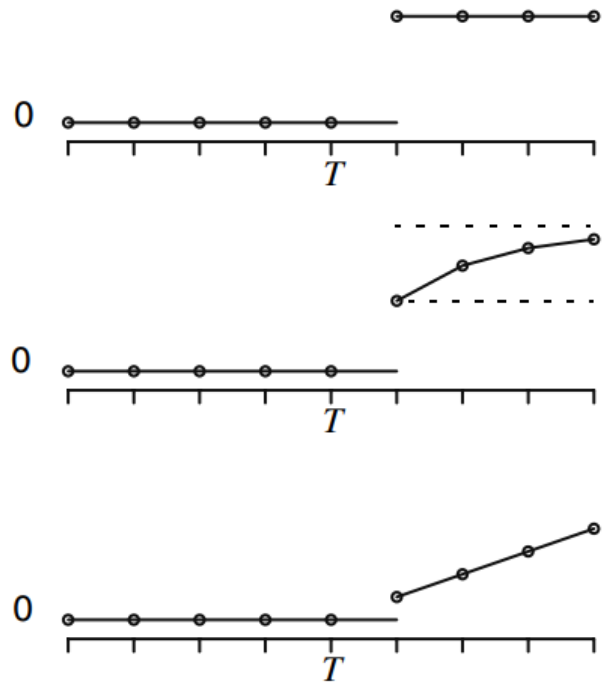
Proceso natural:  
serie de tiempo que puede ser  
modelada como un (S)ARIMA



Si la intervención ocurre en un instante  $T$ , se asume que  $m_t = 0$  para  $t < T$  y a  $\{Y_t\}_{t < T}$  se la conoce como *datos preintervención* y puede ser usada para modelar  $N_t$ .

La estimación de los parámetros de  $m_t$  se puede realizar por MV o el enfoque de modelo de estados ya presentados.

# Análisis de intervenciones



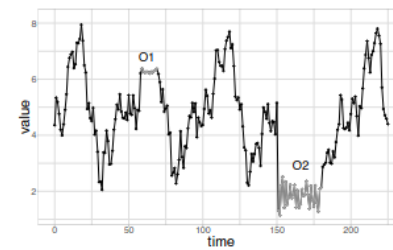
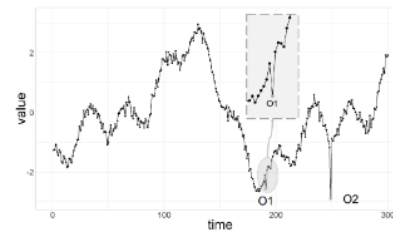
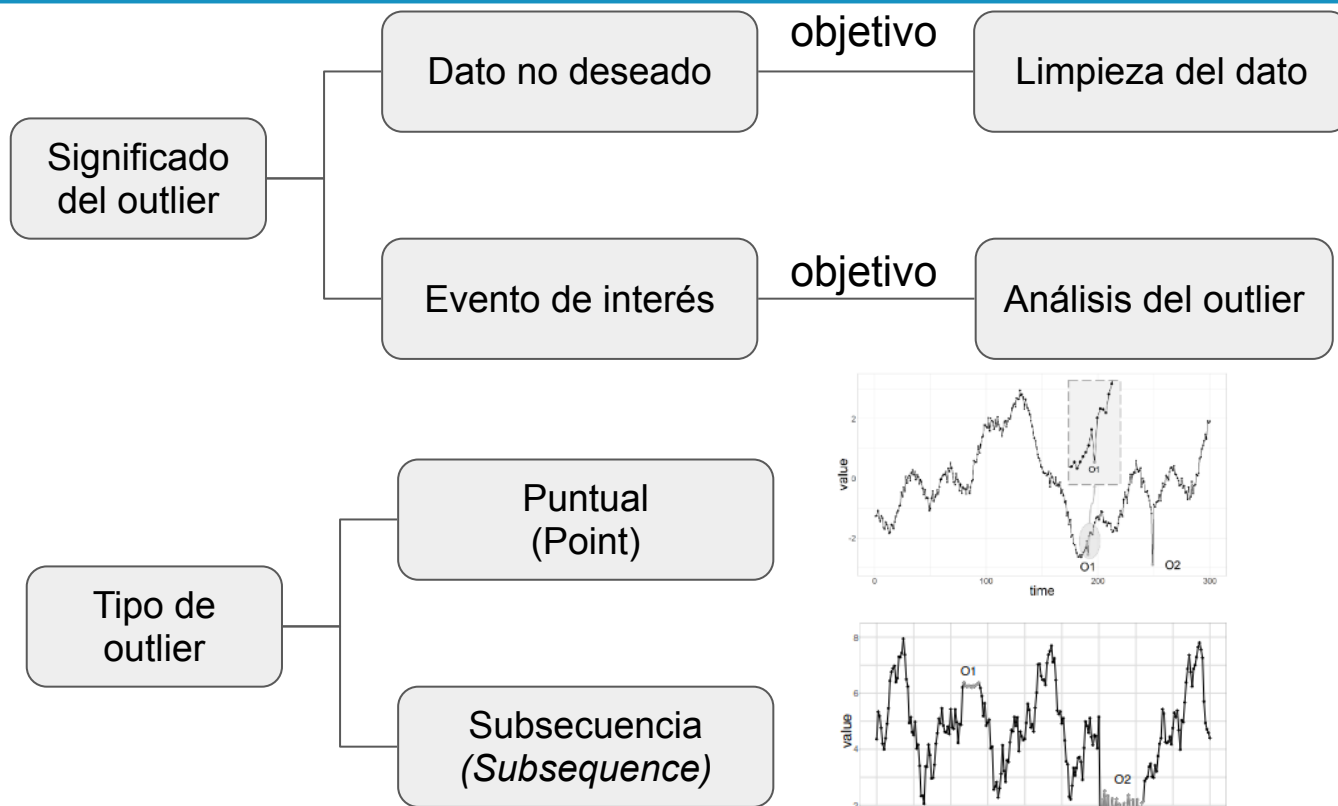
# Ejemplo

---

Ver notebook: [intervention\\_analysis.ipynb](#)

# Análisis de outliers

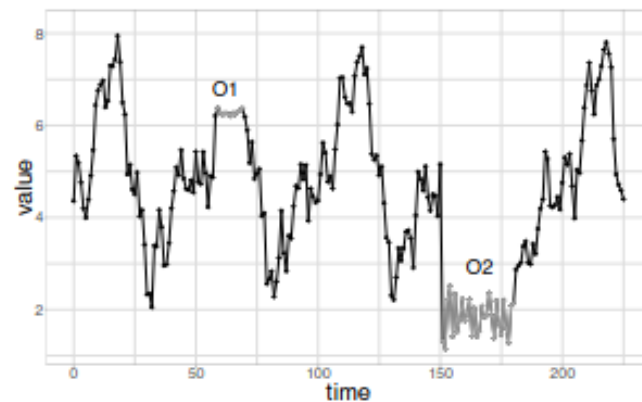
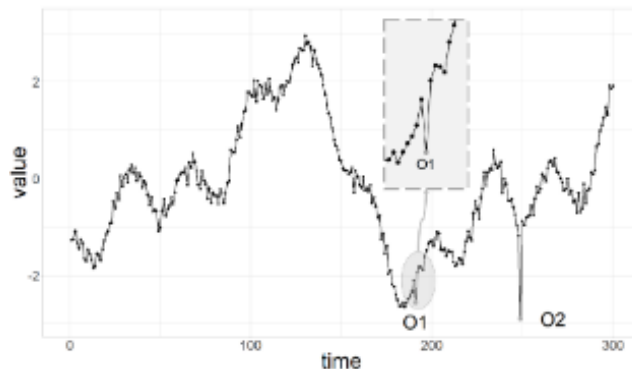
# Tipos de outliers



# Tipos puntuales

**Outliers puntuales:** Dato que se comporta de manera inusual en un instante de tiempo específico, comparado con la serie total, o sus puntos vecinos. Son los más comunes.

**Outliers de subsecuencia:** corresponde a puntos que en conjunto se comportan de forma peculiar respecto del resto de la serie, aunque cada observación de forma individual no resulta necesariamente un outlier.



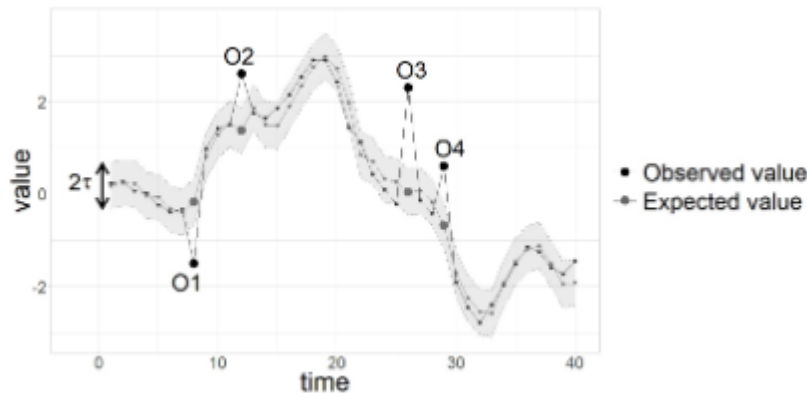


# Análisis de Outliers puntuales:

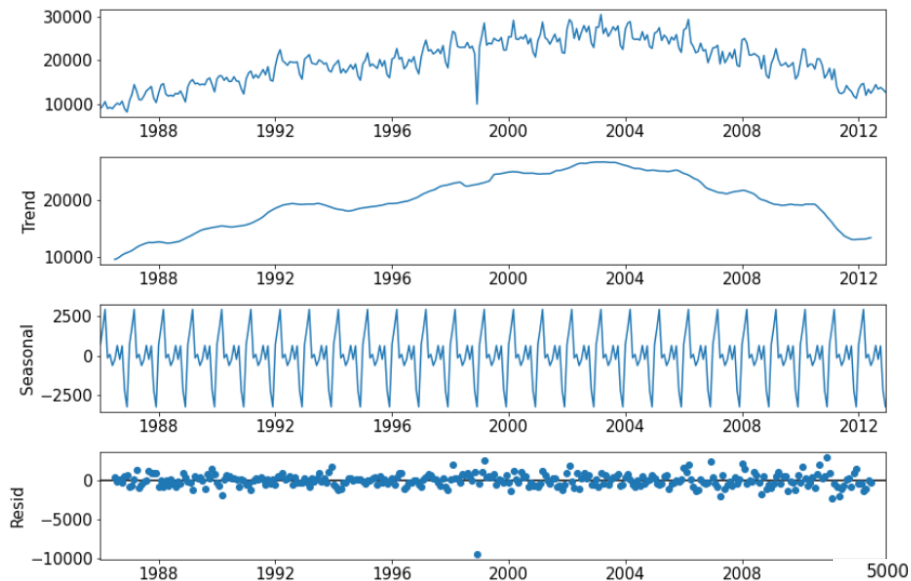
Podemos definir un outlier como un punto que se desvía significativamente de su valor esperado, es decir  $|x_t - \hat{x}_t| > \tau$

Hay distintas formas de determinar ese valor esperado y el umbral.

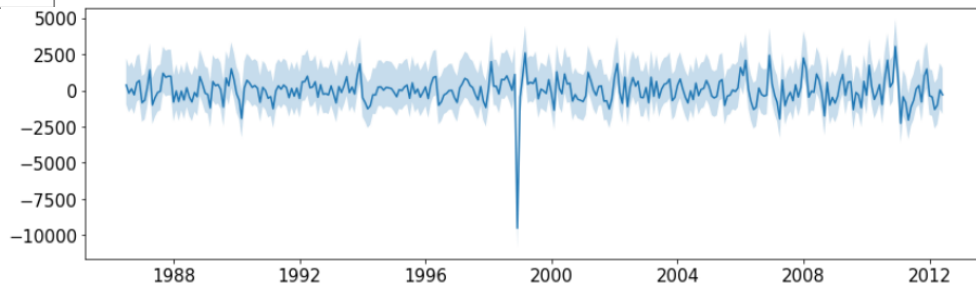
- Modelos constantes a tramos, donde se toman estadísticas como mediana o MAD (mean absolute deviation)
- Identificación de puntos poco probables bajo un cierto modelo o distribución
- Analizando residuos (ej. usando la descomposición STL, o directamente analizando residuos del ARIMA)
- Etc.



# Detección de outliers usando la descomposición STL



```
fig = plt.figure(figsize=(14,4))
q975 = residuals.quantile(.975)
q025 = residuals.quantile(.025)
plt.plot(residuals)
plt.fill_between(x=residuals.index,
                 y1=residuals + q025,
                 y2=residuals + q975,
                 alpha=0.25
                )
```



# Cómo tratar los outliers

---

- Usar la media en una ventana para suavizar el outlier
- Modelar el dato basándose en el problema de estudio
- Quitar el punto (mucho cuidado!)

# Conclusiones

---

- Los modelos **AR, MA, ARMA** se basan en procesos estacionarios y están bien estudiados.
- Si un proceso no estacionario pueda ser **diferenciado** 'i' veces y volverse estacionario, entonces podemos usar la extensión del modelo **ARIMA**
- Para procesos con **tendencia constante o lineal**, el framework funciona normalmente bien con **ARIMA.fit()**
- Con la misma idea, procesos a los que se les puede extraer una tendencia determinística conviene tratarlos con modelos conocidos.
- Vimos que **Cuadrados Mínimos** puede ser útil para ajustar tendencias determinísticas y obtener los coeficientes del modelo
- La extensión **SARIMA** usa estos métodos con la misma idea de extraer componentes que se pueden modelar por descomposición
- Los **coeficientes** son **todo** a la hora de modelar para predecir. Una buena predicción se da cuando el modelo es el adecuado y los coeficientes están bien ajustados.